

УДК 621.165:532,6

Р.А. РУСАНОВ<sup>1</sup>, П. КЛОНОВИЧ<sup>1</sup>, А.В. РУСАНОВ<sup>2</sup>, П. ЛАМПАРТ<sup>1</sup>, М. ШИМАНЯК<sup>1</sup>,  
М.А. ЧУГАЙ<sup>2</sup>, Н.В. ПАЩЕНКО<sup>2</sup>

<sup>1</sup>Институт проточных машин им. Р. Шевальского Польской академии наук, Гданьск, Польша

<sup>2</sup>Институт проблем машиностроения им. А.Н. Подгорного НАН Украины, Харьков, Украина

## РАЗРАБОТКА ДИЗАЙНА ПРОТОЧНОЙ ЧАСТИ ТУРБИНЫ ДЛЯ ЛАБОРАТОРНОЙ ЭНЕРГЕТИЧЕСКОЙ ОРС УСТАНОВКИ

Рассмотрены несколько вариантов проточных частей радиально-осевой турбины мощностью 30 кВт для когенерационной установки, использующей в качестве рабочего тела SES36. Численное исследование 3D-течений выполнены с учетом реальных свойств рабочего тела, для определения которых использовались справочные таблицы и модифицированное уравнение состояния Бенедикта-Вебба-Рубина. Представленные турбины характеризуются малым углом выхода потока из направляющего аппарата, величина которого составляет около 4,5. Газодинамическая эффективность разработанных проточных частей турбин удовлетворяет требованиям, предъявляемым к энергетическим машинам подобного рода.

**Ключевые слова:** когенерационная установка, низкокипящие рабочие тела, численный метод, турбина, радиально-осевая ступень.

### Введение

Перспективным направлением развития энергосберегающих технологий как для Украины, так и для стран Европы является использование когенерационных установок малой мощности, работающих на низкокипящих рабочих телах (НРТ). Такие установки могут применяться и для утилизации низкотемпературных тепловых отходов, и для работы на возобновляемых топливах – различных видах биомасс.

Важным элементом подобных когенерационных установок является турбина. Особенность таких турбин – относительно малые габариты, что усложняет задачу по обеспечению приемлемого уровня газодинамической эффективности.

В работе представлены несколько вариантов радиально-осевых проточных частей турбин для когенерационных установок, использующих НРТ.

### 1. Схема установки. Исходные данные для создания турбины

Энергетические установки, работающие по органическому циклу Ренкина (ОРС), по принципу действия идентичны установкам высокой мощности, использующих в качестве рабочего тела водяной пар. Области применения обычных паровых установок, а также установок, основанных на технологии ОРС [1], показаны на рисунке 1.

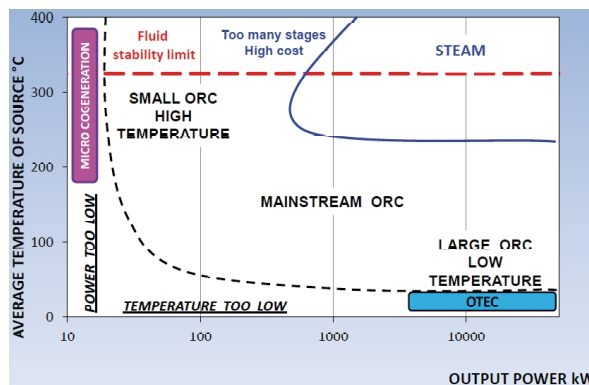


Рис. 1. Области применения различных энергетических установок

В Институте проточных машин им. Р. Шевальского Польской академии наук (IMP PAN) разработана высокоэффективная комбинированная установка мощностью выше 400 кВт, которая состоит из поршневого двигателя и блока ОРС (надстройка ОРС). Основным генератором энергии является поршневой двигатель внутреннего сгорания, использующий в качестве топлива природный газ (также возможно применение синтез- и биогазов). Рассмотрено несколько вариантов надстройки ОРС:

1) блок ОРС утилизирует тепло выхлопных газов и тепло от системы охлаждения двигателя;

2) блок ОРС утилизирует тепло выхлопных газов, а тепло от системы охлаждения используется для отопления.

В установке, применяемой в IMP PAN, используется только тепло выхлопных газов. Схема установки приведена на рисунке 2. Рабочим телом надстройки ORC является SES36. Тепло выхлопных газов принимается газотермомасляным теплообменником, а затем при помощи промежуточного теплоносителя – термостойкого масла Veco 5HT передается в нагреватель и испаритель блока ORC.

Рабочее тело надстройки ORC после нагрева и испарения попадает в турбину, которая вы-

рабатывает механическую энергию и передает ее на электрический генератор. После расширения в турбине рабочее тело проходит через рекуператор, где отбирается часть его тепла. Окончательное охлаждение и конденсация рабочего тела осуществляются в конденсаторе.

Приняты следующие параметры термодинамического цикла ORC: давление/температура на входе в турбину – 16 bar/ 145 °С, давление/температура в конденсаторе – 1.6 bar/ 50 °С. КПД ORC блока – 16%.

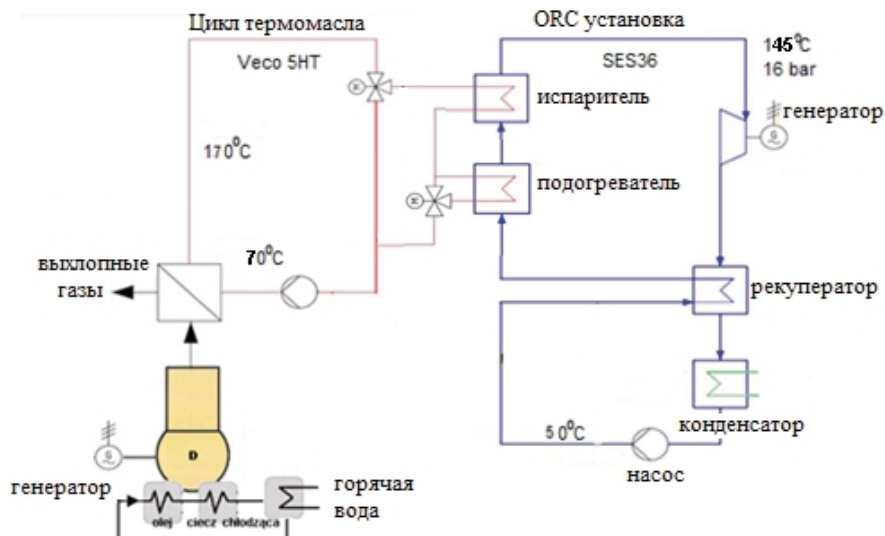


Рис. 2. Схема когенерационной установки с ДВС и блоком ORC



а



б



в

Рис. 3. Газопаровая система ORC в IMP PAN: ДВС MAN (а), котел-утилизатор (б) и ORC установка мощностью 40 кВт с расширителем (в)

## 2. Обоснование выбора радиально-осевой турбины

Для многих случаев турбина с радиально-осевой ступенью является оптимальным решением. Основным преимуществом радиально-осевых ступеней является их высокая эффективность для малых значений объемных расходов [4]. При этом известно, что применение установок ORC целесообразно для малой выработки. На основе сказанного можно утверждать, что для установок ORC наиболее подходят радиально-осевые турбины. Это также подтверждено в многочисленных публикациях [5–7].

Пример конструкции установки ORC и результаты расчетов турбогенератора мощностью 30 кВт, с использованием радиально-осевой ступени, представлены Кангом [5]. На рисунках 4 и 5 показаны 3D-модель и фотография устройства.

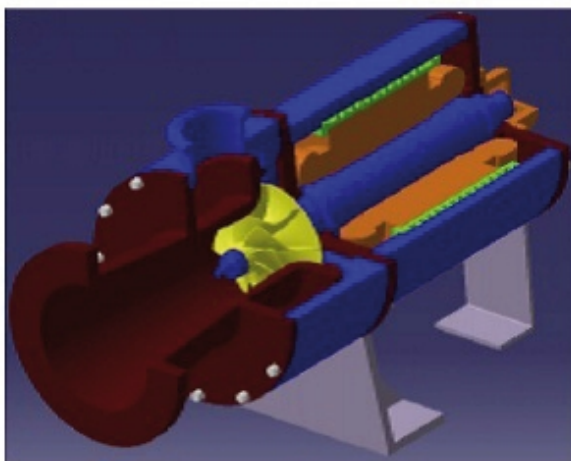


Рис. 4. 3D-модель турбогенератора, разработанного для рабочего тела R245fa

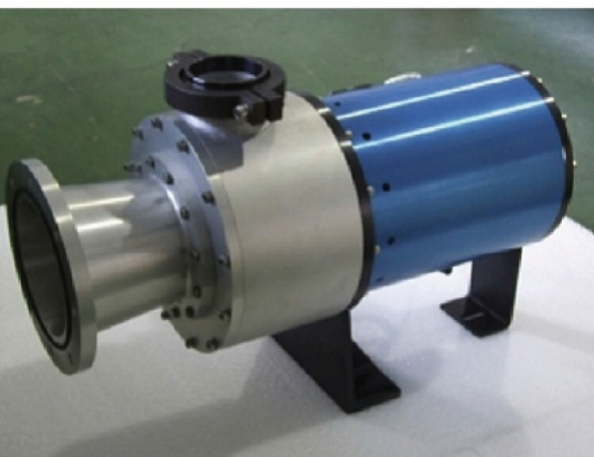


Рис. 5. Фотография турбогенератора, разработанного для рабочего тела R245fa

## 3. Радиально-осевая однопоточная турбина

Основные параметры турбины приведены в таблице 1. Для выполнения требования обеспечения минимально допустимого значения высоты канала на входе в турбину (не менее 5 мм) был принят угол выхода потока из НА  $\alpha_1$  равный  $4.4^\circ$ . Треугольники скоростей для данной проточной части показаны на рисунке 6, а основные геометрические характеристики – на рисунке 7.

Проточные части лопаток НА и РК построены в программе BladeGen, которая является составной частью программного комплекса Ansys.

Профили лопаток НА (рис.8) имеют конусообразную форму.

Вид разработанной проточной части представлен на рисунке 9.

Таблица 1  
Расчетные параметры турбины

|                      |                       |
|----------------------|-----------------------|
| Давление на входе    | <b>14.64 bar(абс)</b> |
| Температура на входе | <b>414.15 К</b>       |
| Давление на выходе   | <b>2.2 bar(абс)</b>   |
| Массовый расход      | <b>1.22 кг/сек</b>    |
| Скорость вращения    | <b>15000 об/мин</b>   |

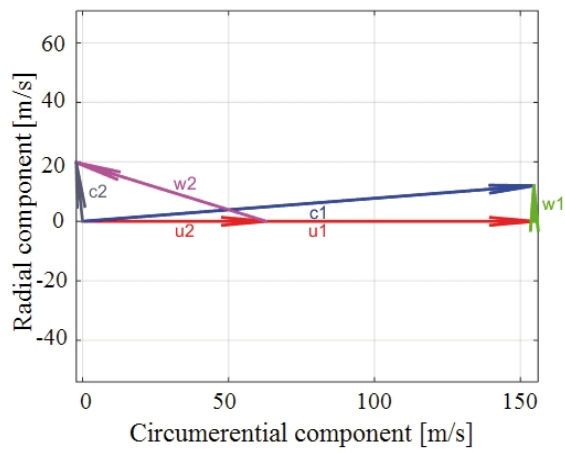


Рис. 6. Треугольники скоростей

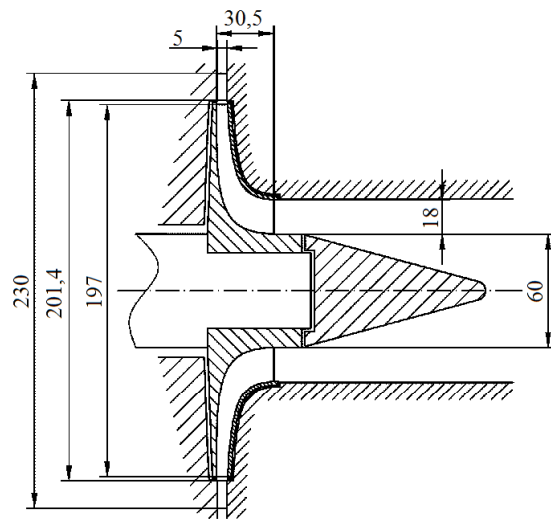


Рис. 7. Основные геометрические характеристики проточной части

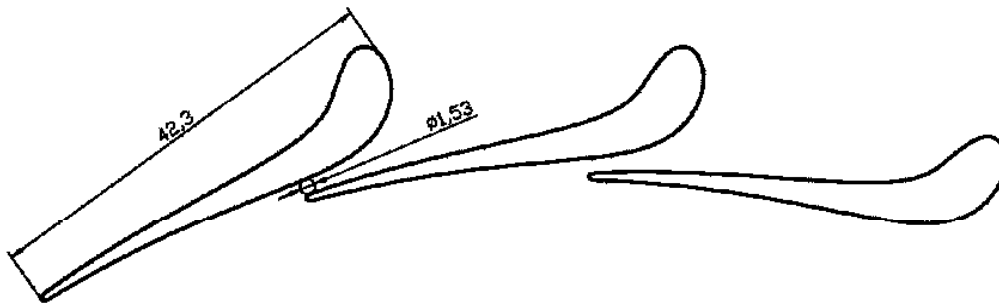


Рис. 8. Вид спроектированного НА



Рис. 9. Вид разработанной проточной части

3D-расчеты выполнены в программном комплексе Ansys CFX. Расчетная сетка включает по одному межлопаточному каналу НА и РК и содержит около 800 тыс. элементов, из которых около 450 тыс. приходится на НА и 350 тыс. на РК. Основные результаты 1D и 3D расчетов представлены в таблицах 2 и 3 соответственно.

Видно, что, несмотря на относительно большое число Маха (среднее значение числа Маха в межлопаточном канале НА – 1.33 [11]), была достигнута достаточно высокая эффективность проточной части – 88%. Расчеты проводились без учета протечек. Картина визуализации течения потока показана на рисунках 10 и 11.

Таблица 2

Основные результаты расчетов ступени

| 1D     |        | 3D     |        | Количество лопаток |    | Момент | Скорость вращения |
|--------|--------|--------|--------|--------------------|----|--------|-------------------|
| P, кВт | $\eta$ | P, кВт | $\eta$ | НА                 | РК | M, Нм  | N, об/мин         |
| 29.4   | 0.86   | 30.2   | 0.88   | 22                 | 15 | 19.23  | 15 000            |

Таблица 3

Результаты расчета ступени

| $P_0$ , кПа | $P_1$ , кПа | $P_2$ , кПа | $T_0$ , К | $T_1$ , К | $T_2$ , К |
|-------------|-------------|-------------|-----------|-----------|-----------|
| 1464        | 492         | 220         | 414.15    | 386.45    | 370.1     |

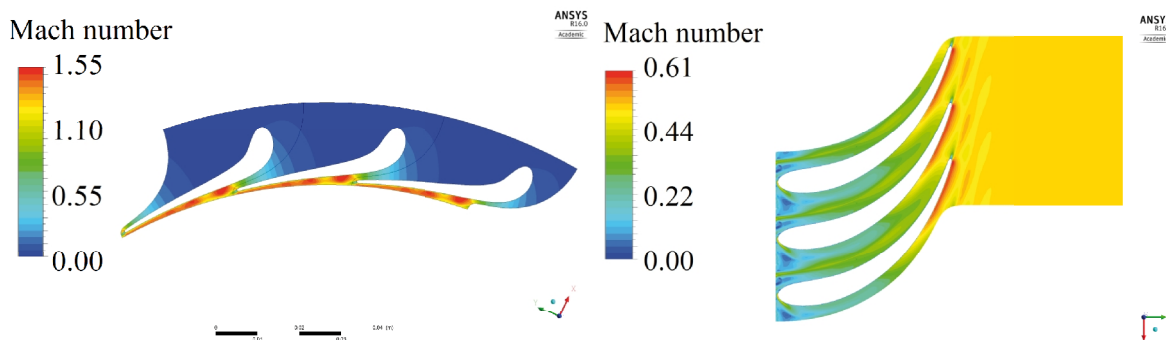


Рис. 10. Изолинии чисел Маха в среднем сечении канала НА

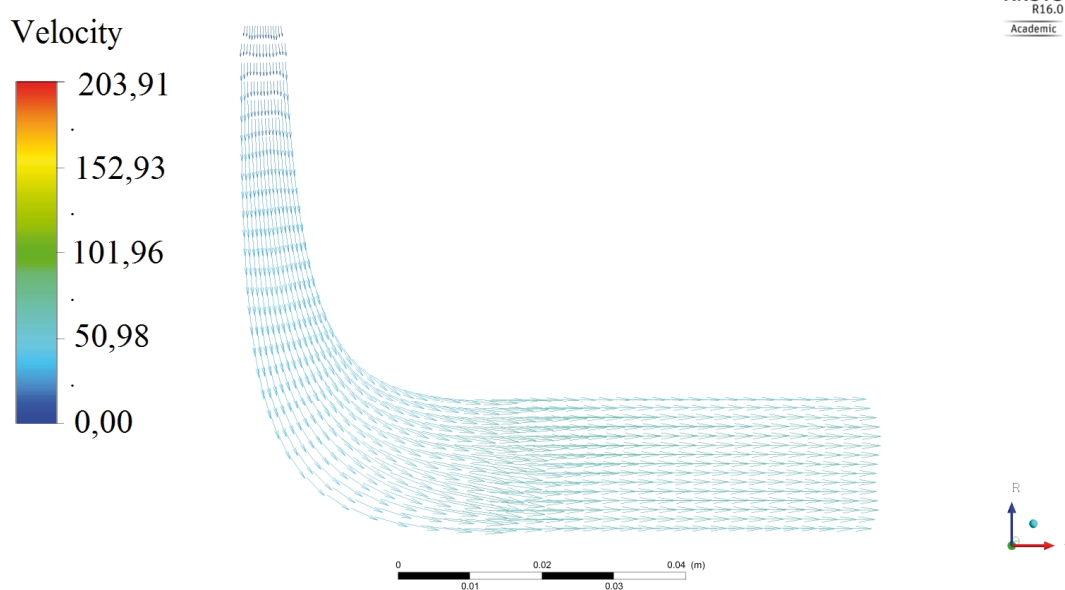


Рис. 11. Векторы скорости в среднем меридиональном сечении РК

#### 4. Радиально-осевая двухпоточная турбина

Основным недостатком однопоточной радиально-осевой конструкции является наличие существенного осевого усилия. Такой недостаток отсутствует в двухпоточной турбине, в которой поток начиная с радиального участка разделяется на два симметричных осевых потока (в разные стороны).

На рисунке 12 представлен вид проточной части, а в таблице 4 – основные геометрические характеристики двухпоточной радиально-

осевой турбины (одного потока). 3D-расчеты спроектированной проточной части проводились с помощью программного комплекса IPMFlow [12]. Расчет выполнен на сетке с суммарным числом ячеек более 1 млн (около 500 тыс. ячеек в одном венце) с использованием уравнения состояния Бенедикта-Вебба-Рубина с 32 членами [13].

На рисунках 13 и 14 представлена визуализация течения в проточной части, а в таблице 5 – ее интегральные характеристики, полученные по результатам 3D-расчета.

Таблица 4

Геометрические характеристики первого варианта радиально-осевой проточной части

| $r_{вх^2}$ НА | $r_{вых^2}$ НА    | $l_{вх^2}$ НА | $l_{вых^2}$ НА | $z$ , НА |
|---------------|-------------------|---------------|----------------|----------|
| 100           | 85,96             | 3             | 3              | 41       |
| $r_{вх^2}$ РК | $r_{ср.вых^2}$ РК | $l_{вх^2}$ РК | $l_{вых^2}$ РК | $z$ , РК |
| 81            | 36,3              | 3             | 16             | 16       |

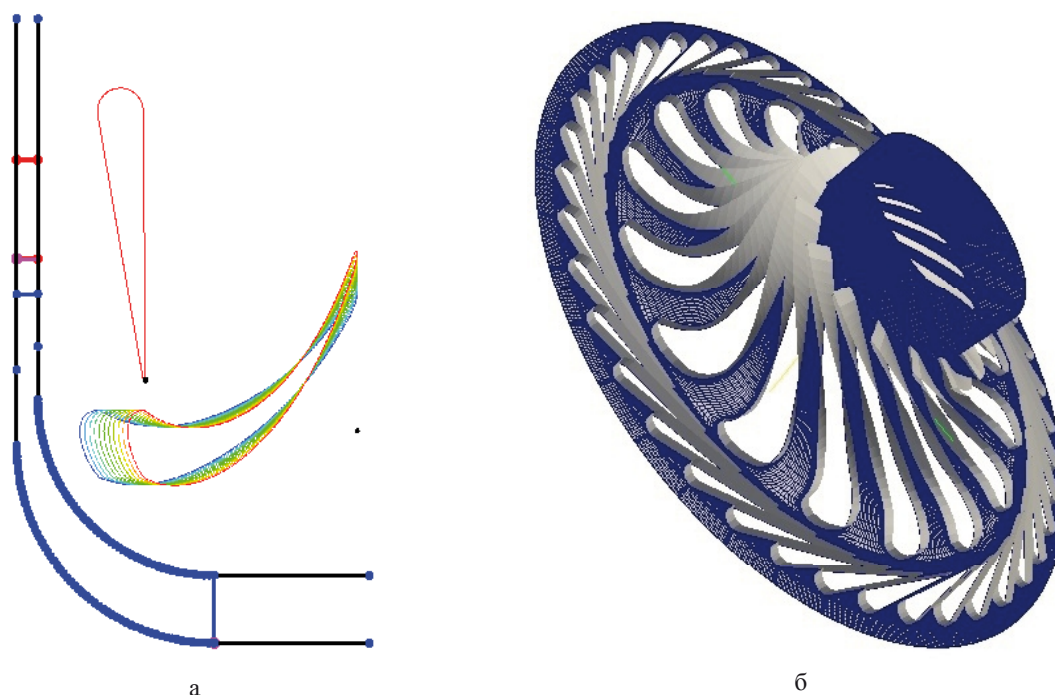


Рис. 12. Вид первого варианта радиально-осевой проточной части:  
а – меридиональное сечение; б – изометрия

Несмотря на то, что проточная часть состоит из одной ступени, на которой срабатывает большой тепловой перепад, в ней наблюдается благоприятная картина обтекания. Максимальная величина числа Маха во всей проточ-

ной части не превышает 2, отсутствуют скачки уплотнения и отрывы потока. Предложенная проточная часть имеет высокую газодинамическую эффективность, ее внутренний КПД составляет 88,5 %.

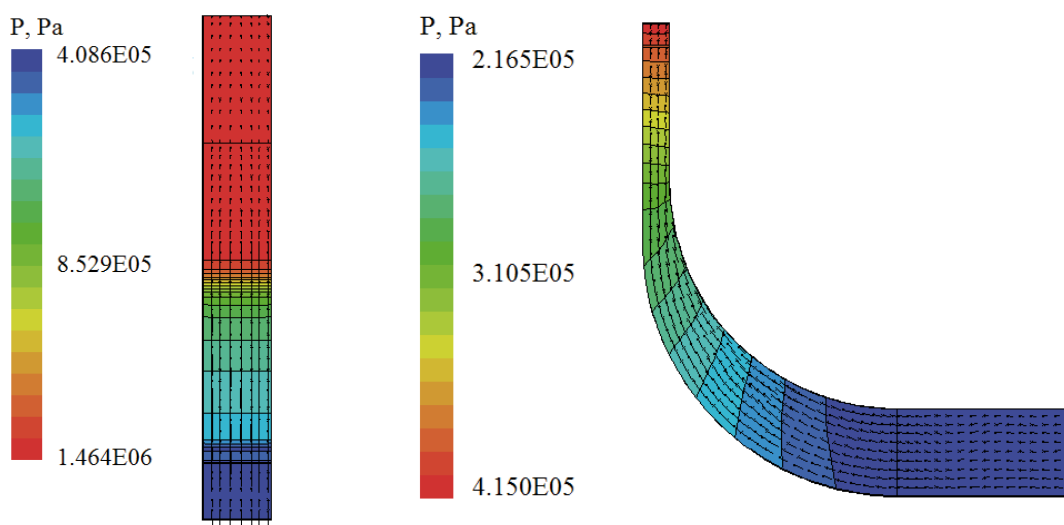


Рис. 13. Векторы скорости и изолинии давления в среднем меридиональном сечении: а – НА; б – РК

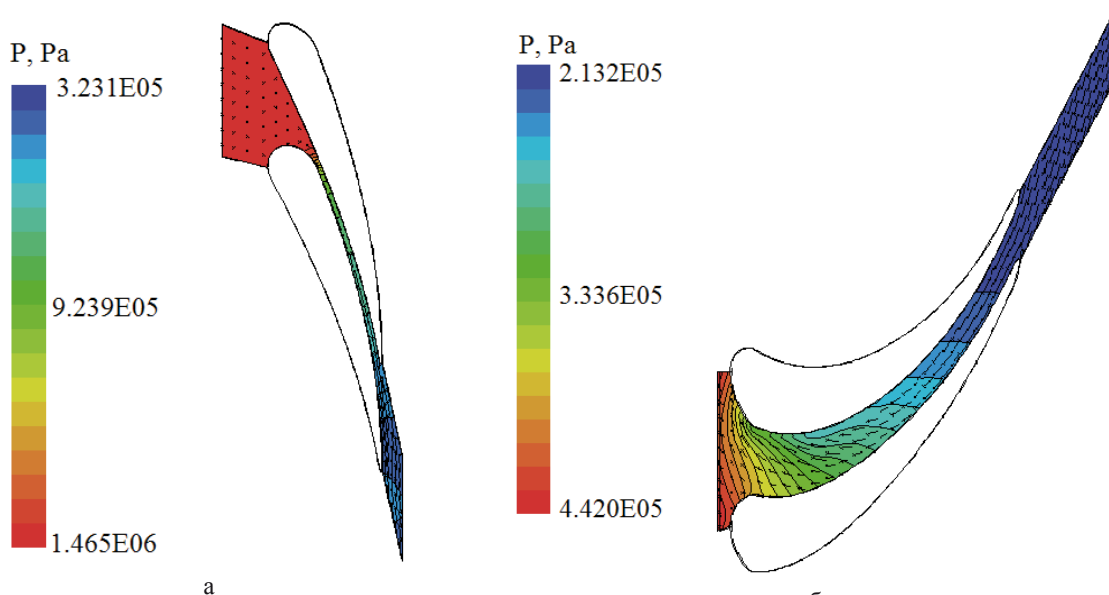


Рис. 14. Векторы скорости и изолинии давления в среднем тангенциальном сечении: а – НА; б – РК

Таблица 5

Основные интегральные характеристики проточной части

| $P_1$ , кПа | $T_1$ , К | $T_2$ , К | $c_1$ , м/с | $c_2$ , м/с | $w_1$ | $w_2$  | $\alpha_2$ , град | $N$ , Вт | $\eta$ , % |
|-------------|-----------|-----------|-------------|-------------|-------|--------|-------------------|----------|------------|
| 440,586     | 394,67    | 379,77    | 152,099     | 29,859      | 26,74 | 72,769 | 7,671             | 30097    | 88,48      |

### 5. Описание выбранной конструкции

Несмотря на полученную высокую газодинамическую эффективность, из-за технологических сложностей изготовления и большой материалоемкости было принято решение не применять конструкцию двухпоточной турбины.

Для выбранной конструкции в связи с высокой скоростью вращения и большими осевыми усилиями одним из наиболее проблематичных узлов являются подшипники. С учетом того,

что разработанная установка является лабораторным образцом, а главной задачей является исследование проточной части, было принято решение использовать шариковые подшипники, которые характеризуются высокой жесткостью, доступностью, быстро могут быть заменены и выдерживают большие осевые усилия. Их основным недостатком является малый ресурс эксплуатации. 3D-модель турбогенератора показана на рисунке 15.



Рис. 15. 3D-модель турбогенератора, использующего в качестве рабочего тела SES 36

## 6. Выводы

Предложено несколько вариантов радиально-осевых проточных частей турбин для когенерационной установки, использующей в качестве рабочего тела SES36. Все рассмотренные варианты турбин имеют относительно высокую газодинамическую эффективность. Однопоточная радиально-осевая конструкция несколько уступает варианту двухпоточной турбины по КПД, однако, ее преимуществом является то, что она имеет меньшие габариты, металлоемкость и, соответственно, стоимость.

В настоящее время образец турбогенератора изготовлен и проходят его лабораторные испытания.

## Литература

1. Gaia M. 30 years of Organic Rankine Cycle Development [Electronic resource] / M. Gaia // 1st Int. Seminar on ORC Power Systems, 22-23 September 2011. - Delft, 2011. Available online : [www.kcorc.org/en/literature/orc2011-proceedings](http://www.kcorc.org/en/literature/orc2011-proceedings).
2. Rusanov, A. Designing and updating the flow part of axial and radial-axial turbines through mathematical modeling [Text] / A. Rusanov, R. Rusanov, P. Lampart // Open Engineering. – 2015. – Vol. 5(1). – P. 399–410. DOI 10.1515/eng-2015-0047.
3. Elaboration of the flow system for a co-generation ORC turbine [Electronic resource] / A. Rusanov, P. Lampart, S. Rusanov [at all] // Thermodynamics & Fluid Flow ES 2013 : Proc. 12-th Conf. on Power System Engineering, 13-14 June 2013, Plsen, Czech Rep. – 2013. – 1 электрон. опт. диск (CD-ROM).
4. Balje, O. E. A Study on Design Criteria and Matching of Turbomachines: Part A-Similarity Relations and Design Criteria of Turbines [Text] /

O. E. Baljй // J. Eng. Power. – 1962. – Vol. 84(1). – P. 83.

5. Kang S. H. Design and experimental study of ORC (organic Rankine cycle) and radial turbine using R245fa working fluid [Text] / S. H. Kang // Energy. – 2012. – Vol. 41(1). – P. 514–524.

6. Capata R. Preliminary Design and Simulation of a Turbo Expander for Small Rated Power Organic Rankine Cycle (ORC) [Text] / R. Capata, G. Hernandez // Energies. – 2014. – Vol. 7(11). – P. 7067–7093.

7. Methods for design of radia-axial turbines for ORC cogeneration unit working with MDM [Text] / P. Klonowicz, R. Rusanov, A. Rusanov [at all] // Bull. NTU “KhPI”. Ser., Power heat Eng. Process. Equip. – 2015. – Vol. 16(1125). – P. 67–77.

8. Klonowicz P. Design and numerical study of turbines operating with MDM asworking fluid [Text] / P. Klonowicz // Open Engineering. – 2015. – Vol. 5(1). DOI 10.1515/eng-2015-0050. – P. 120-128.

9. Suchocki T. Numerical investigation of a GTM-140 turbojet engine [Text] / T. Suchocki, P. Lampart, P. Klonowicz // Zesz. Nauk. Ciepl. Masz. Przeplywowe – Turbomach, Politech, ydzka. – 2014. – No. 145, – P. 115–116.

10. Design and performance measurements of an organic vapour turbine [Text] / P. Klonowicz, A. Borsukiewicz-Gozdur, P. Hanausek [at all] // Appl. Therm. Eng. - 2014. – Vol. 63(1). – P. 297–303.

11. Three-Dimensional RANS Simulation of a High-Speed Organic Rankine Cycle Turbine [Text] / J. Harinck, D. Pasquale, R. Pecnik [at all] // First International Seminar on ORC Power Systems ORC 2011, Delft, The Netherlands. – 2011.

12. Calculations of 3D viscous compressible turbomachinery flows [Text] / S. Yershov, A. Rusanov, A. Gardzilewicz [at all] // Proc. 2nd Symp. on

Comp. Technologies for Fluid / Thermal / Chemical Systems with Industrial Applications, ASME PVP Division Conf., 1-5 August 1999, Boston, USA, PVP. – 1999. – Vol. 397(2). – P. 143–154.

13. Русанов А. В. Интерполяционно-аналитическая аппроксимация модифицированного уравнения состояния Бенедикта-

Вебба-Рубина для учета реальных свойств рабочих тел в трехмерных расчетах [Текст] / А. В. Русанов, П. Лампарт, Р. А. Русанов // Компрессорное и энергетическое машиностроение. – 2014. – Вып. 3. – С. 18–23.

Поступила в редакцию 17.06.2016

**Р.А. Русанов, П. Клонович, А.В. Русанов, П. Лампарт, М. Шиманяк, М.О. Чугай, Н.В. Пашенко. Розробка дизайну проточної частини турбіни для лабораторної енергетичної ORC установки**

*Представлено кілька варіантів радіально-осьових проточних частин турбін потужністю 30 кВт для когенераційної установки, що використовує як робоче тіло SES36. Чисельне дослідження 3D-течії в проточних частинах виконано з урахуванням реальних властивостей робочого тіла, що визначаються за допомогою довідкових таблиць і модифікованого рівняння стану Бенедикта-Вебба-Рубіна. Представлені турбіни характеризуються дуже малим кутом виходу потоку (близько 4,5) з направляючого апарату. Газодинамічна ефективність розроблених проточних частин турбін є достатньою для енергетичних машин подібного виду.*

**Ключові слова:** когенераційна установка, низькокиплячі робочі тіла, чисельний метод, турбіна, радіально-осьова ступінь.

**R.A. Rusanov, P. Klonowicz, A.V. Rusanov, P. Lampart, M. Szymaniak, M.A. Chugay, N.V. Pashchenko. Elaboration of the flow part of turbine for laboratory energy ORC unit**

*Presented several options of 30 kW radial-axial turbine flow parts for cogeneration plant, which uses as a working oil SES36. Numerical investigation of 3D flow in flow parts are made based on actual properties of the working fluid, which are determined using a reference tables and modified Benedict-Webb-Rubin equation of state. Presented turbines are characterized by a very small output angle of stream (about 4,5) from the stator. Gas-dynamic efficiency of the developed part of the turbine flow is sufficient to power machines of this kind.*

**Key words:** cogeneration unit, low-boiling working body, numerical method, turbine, radial-axial stage.